

В. Ольховский.

# К РАСЧЕТУ НА ПРОЧНОСТЬ САМОЛЕТА И ПЛАНЕРА

## СОПРОТИВЛЕНИЕ МАТЕРИАЛОВ

(Продолжение<sup>1)</sup>.

**Графический способ расчета AB** (лонжерон свободно-несущего крыла) испытана консолью. Тяготеет неравномерно-убывающую к свободному концу B аэродинамическую нагрузку P, действующую равномерно снизу вверх. (рис. см. «Самолет» № 6).

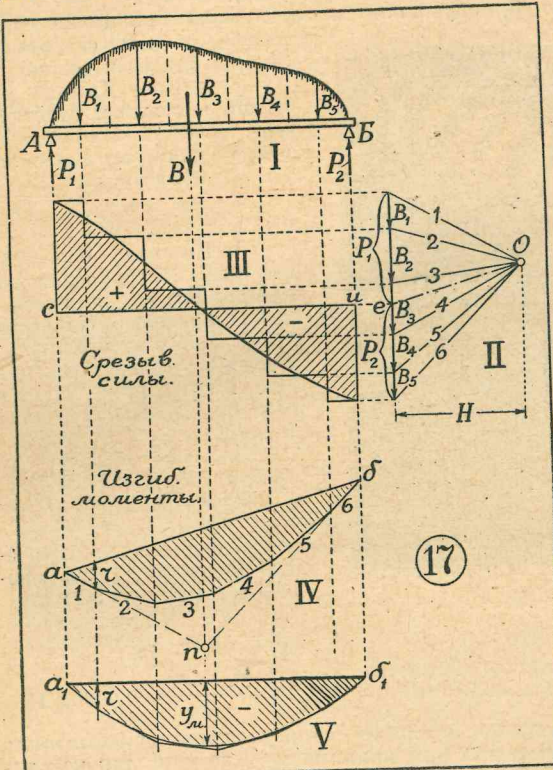


Рис. 17. Графический способ расчета балок, лежащих на двух опорах.

лярной диаграммы II<sup>3</sup>). Концы отложенных секторов (отрезков) соединяют прямыми с полюсом 0, который выбираем на продолжении горизонтальной прямой ab, представляющей ось балки.

Для построения диаграммы срезывающих сил, на направлении равнодействующей нагрузки каждого участка балки откладываем от линии ab отрезки  $P_1$ ,  $P_2$  и т. д., ранее нанесенные на полярной диаграмме. Таким образом получаем ступенчатую линию ab срезывающих сил, которая, при очень большом числе участков, на которые разделена площадь диаграммы нагрузки (I), превращается в кривую.

Диаграмма изгибающих моментов (II) находится построением веревочной линии 1, 2, 3, 4, 5, 6, параллельной лучам 1, 2, 3, 4, 5, 6 полярной диаграммы.

Точка n взаимного пересечения сторон 1 и 6 веревочной линии определяет направление равнодействующей всей нагрузки P (вертикаль, проходящая через центр тяжести нагрузки).

Для любого сечения балки, изгибающий момент M выражается соответствующей ординатой кривой моментов (III), помноженной на полюсное расстояние H. След. наибольший изгибающий момент в сечении A будет равен:  $M_{\max} = U_{\max} \cdot H$ .

Изгибающий момент для любого сечения B балки может быть выражен площадью  $b_{ab}$  срезывающих сил, расположеною справа от данного сечения, а макс.  $M$  — площадью  $a_{ab}$ .

**[Балка, лежащая на двух опорах.]** Предположим, что имеем балку постоянного сечения, свободно лежащую на двух опорах A и B (без свешивающихся концов), которая нагружена, как показано на рис. 16 (диаграмма нагрузки см. «Самолет» № 6).

Нагрузка B оказывает на опоры давление (опорные давления), которое уравновешивается сопротивлениями этих опор, называемыми также противодействиями или реакциями опор (силы  $P_1$  и  $P_2$ ). Последние относятся к числу внешних сил, действующих на балку.

<sup>1)</sup> См. № 2 (28) журнала «Самолет».

Для определения реакции  $P_1$  опоры A, произведение из нагрузки B на расстояние ее центра тяжести до другой опоры B делят на длину пролета балки. Реакцию  $P_2$  находят таким же путем или, проще, вычитанием  $P_1$  из B.

Изгибающий момент  $M_u$  для любого сечения и балки есть результатирующий момент всех внешних сил, включая реакции опор, действующих между рассматриваемым сечением и одной из опор балки. Следовательно, он равен:

$$M_u = P_1 \cdot e_1 - B_1 \cdot a \text{ или } M_u = B_2 \cdot v - P_2 \cdot e_2,$$

$$\text{где } P_1 = \frac{B(e_2 - c)}{e_1 + e_2} \text{ и } P_2 = \frac{B(e_1 + c)}{e_1 + e_2}$$

$B_1$  и  $B_2$  суть нагрузки, приходящиеся на балку слева и справа от сечения и, так что  $B_1 + B_2 = B$ ;  $a$ ,  $v$  и  $c$  — расстояния центров тяжести нагрузок  $B_1$ ,  $B_2$  и  $B$  от вертикали ии.

Если из разных точек пролета AB балки восстановить перпендикуляры и на них отложить отрезки, пропорциональные нагрузке, действующей на балку справа или слева от рассматриваемого сечения, то получим диаграмму срезывающих сил.

Если же для разных сечений балки построить ординаты, пропорциональные изгибающим моментам  $M_u$ , получим диаграмму этих моментов.

Изгибающие моменты проще всего определяются по диаграмме срезывающих сил, путем вычисления площади этой диаграммы, лежащей справа от рассматриваемого сечения.

Отметим, что опасное сечение балки находится в том месте, где приходящая над сечением нагрузка равна на реакции ближайшей опоры.

**Графический способ расчета балок, лежащих на двух опорах.** Построение диаграмм срезывающих сил и изгибающих моментов для балки, изображенной на рис. 17, I, производится следующим образом. Делим нагрузку B на участки по длине балки. Средние ординаты каждого участка диаграммы I суммируем, переносим их, в некотором масштабе, на полярную диаграмму II; последнюю строим, задавшись произвольным полюсом 0.

На направлениях равнодействующих  $B_1$ ,  $B_2$ ,  $B_3$  и т. д. ранее намеченных участков нагрузки B откладываем их величины и таким образом получаем ступенчатую диаграмму срезывающих сил (III). Эта диаграмма должна быть дополнена нанесением на нее реакций опор  $P_1$  и  $P_2$ .

Для определения последних, строим веревочную линию, т. е. из любой точки a (чертеж IV), лежащей на линии действия реакции  $P_1$ , проводим прямую  $ap$  (или 1), параллельную полюсному лучу 1 диаграммы II, затем линию 2, параллельную лучу 2, и т. д., кончая линией 6, параллельной лучу 6. Точку b пересечения линии 6 с направлением реакции  $P_2$  соединяем прямой с точкой a и на диаграмме II проводим  $Oe$ , параллельно ab. Точку e пересечения луча  $Oe$  с линией сил  $B_1 - B_5$  определят величину реакций  $P_1$  и  $P_2$ .

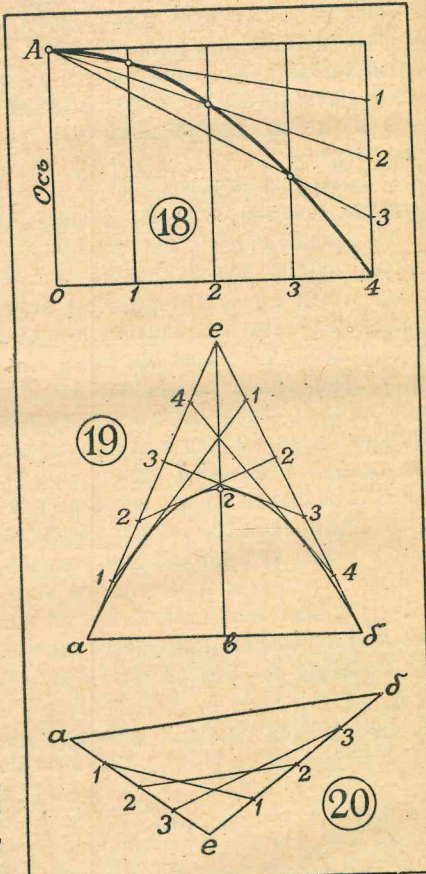


Рис. 18—20. Способы построения параболы.

Продолжив на чертеже IV линии 1 и 6 до взаимного пересечения получаем точку  $\pi$ , через которую пройдет равнодействующая данной нагрузки  $B$ .

Построенную на наклонной базе  $ab$  диаграмму IV изгибающих моментов обычно перечерчивают, откладывая ее ординаты от горизонтальной прямой  $a_1 b_1$  (V). Стороны полученной ломанной линии являются касательными к действительной кривой изгибающих моментов.

Чем больше участков, на которые разделена площадь диаграммы I, тем точнее получаются кривые срезающих сил и изгибающих моментов.

Изгибающий момент для любого сечения балки равняется ординате у веревочного многоугольника, взятой под данным сечением, в масштабе длин, и помноженной на полусное расстояние  $H$ , выраженное в масштабе сил. Если  $H=1$ , то  $M=y$ , т.е. в этом случае, ордината  $y$ , измеренная по масштабу длин, выражает собою непосредственно величину изгибающего момента.

В таблице V приведены результаты расчета балок различных типов с непрерывной нагрузкой подобной той, какая имеет место в летательных аппаратах.

Из рассмотрения диаграмм таблицы V следует, что 1) **наибольшие изгибающие моменты** имеют место в сечениях, для которых срезающая сила равна 0 или меняет свой знак, т.е. там, где диаграмма срезающих сил пересекается с основной осью (положение наиболее опасных сечений); 2) сечения, для которых изгибающие моменты равны 0, соответствуют **точкам перегиба** изогнутой оси балки (в этих сечениях балка не испытывает нормальных напряжений); 3) при одной и той же нагрузке и одинаковых по перечным размерах балок, пролет **консольной** балки (V), сравнительно с **простой**, может быть увеличен приблизительно на 40%; 4) **стрела прогиба** балок зависит от нагрузки  $P$ , длины  $e$  балки, модуля упругости  $E$  материала при изгибе (принимается равным модулю упругости при растяжении и сжатии) и момента инерции  $J$  сечения балки.

На рис. 19 и 20 показаны простейшие способы построения **параболы** данным: основанию и высоте  $vg$  или касательным  $ae$  и  $be$ .

В первом случае (рис. 19), продолжив  $vg$ , откладываем  $ge = vg$ . Далее делим  $ae$  и  $be$  на равные части и, отметив точки

деления одинаковыми номерами (1, 2, 3, 4), соединяем одноименные точки прямыми; последние являются касательными к искомой кривой.

Построение, показанное на рис. 20, понятно без объяснения.

### Задача 7.

Определить по-перечное сечение деревянного рычага управления, к концу которого приложена максимальная сила в 40 кгр., на плече в 55 см. Предельное допускаемое напряжение при изгибе  $n=300$  кгр. на кв. см.

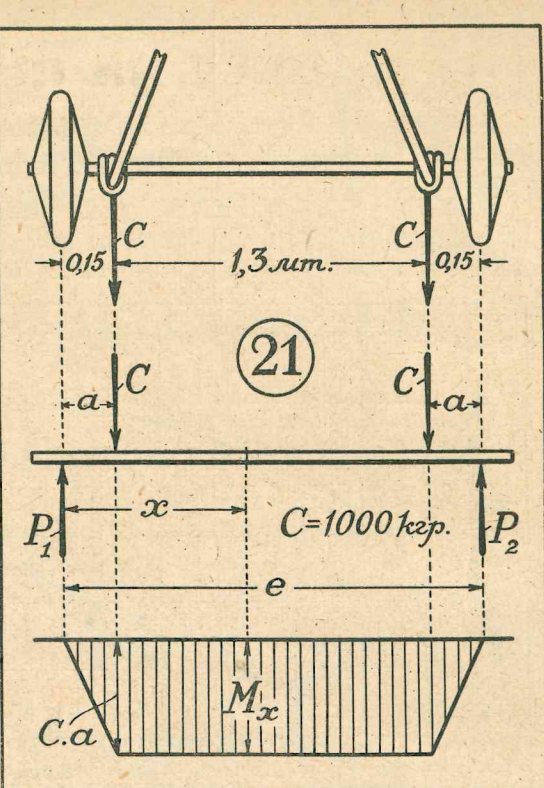


Рис. 21. Построение диаграммы изгибающих моментов для оси колес. Задача 8.

**Решение:** Изгибающий момент  $M=P \cdot e = 40 \cdot 55 = 2200$  кгр. см. Момент сопротивления сечения рычага  $w=0,1 D_3$  (см. таблицу IV).

$$M=w \cdot n \text{ или } 2200=0,1 D_3 \cdot 300;$$

$$\text{Следовательно } D_3 = \frac{2200}{0,1 \cdot 300} = 73,3 \text{ куб. см.}$$

Откуда  $D = 4,2$  см.

Таблица V.

Тип балки и род нагрузки	Диаграмма нагрузки	Давление на опоры	Диаграмма срезающ. сил $C$	Диаграмма изгиб. момента $M$	Прогиб	Опасное сечение	Необходим. сопротивл. $w$
(I) Консоль (балка с закрепл. концом). Нагрузка равномерно распределенная.		$A=P$	$C_x = p \cdot x = \frac{P \cdot x}{e}$ 	$M_x = \frac{p \cdot x^2}{2} = \frac{P \cdot x^2}{2e}$ 	$\frac{P \cdot e^3}{8EJ}$	$A$	$\frac{P \cdot e}{2n}$
(II) Консоль. Нагрузка постепенно убывающая до 0.		$A=P$	$C_x = \frac{p \cdot x^2}{2} = \frac{P \cdot x^2}{e^2}$ 	$M_x = \frac{p \cdot x^3}{6} = \frac{P \cdot x^3}{3e^2}$ 	$\frac{P \cdot e^3}{15EJ}$	$A$	$\frac{P \cdot e}{3n}$
(III) Балка, закрепл. одним концом, а другим лежащая на опоре. Нагрузка равномерно распределенная.		$A = \frac{5}{8}P$ ; $B = \frac{3}{8}P$			$\frac{P \cdot e^3}{185EJ}$	$A$	$\frac{P \cdot e}{8n}$
(IV) Балка, лежащ. на двух опорах. Нагрузка равномерно распределенная.		$A=B=\frac{P}{2}$		$M_x = \frac{P}{2}(x - \frac{x^2}{e})$ 	$\frac{Pe^3}{77EJ}$	Посред. между A и B.	$\frac{P \cdot e}{8n}$
(V) Балка с консолями. Нагрузка равномерно распределенная.		$A=B=\frac{P}{2}$			$\frac{Pa^2}{2e}$ $\frac{P \cdot a^2}{8e}$	Точки перегиба $\tau, \tau'$ при $x = \frac{e}{2} \pm \sqrt{\frac{e^2}{4} - ae}$	$A, B, C$ $\frac{P \cdot e}{47n}$ при наибольшем отношении $\frac{a}{e} = 0,35$

**Задача 8.** На каждое колесо шасси самолета действует нагрузка  $C=1000$  кгр. Расстояние между колесами равно 1,6 мт. а между амортизаторами—1,3 мт. (рис. 21). Построить диаграмму изгибающих моментов для оси.

**Решение:** Так как сосредоточенные грузы  $C, C$  находятся на одинаковых расстояниях от опор, каждая из реакций  $P_1$  и  $P_2$  равна  $C$ .

Изгибающие моменты между опорными точками колес и точками приложения грузов  $C, C$  изменяются по наклонной прямой линии, от нуля до максимума  $C \cdot a$  (под амортизаторами).

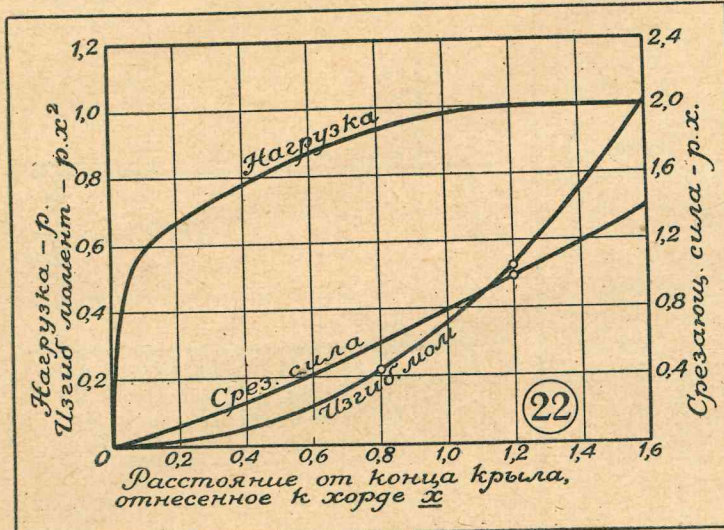


Рис. 22. Диаграммы аэродинамической нагрузки, срезывающих сил и изгибающих моментов для конца крыла.

Для любого сечения оси, между точками приложения грузов  $C, C$ , изгибающий момент равен:

$$M_x = C(e - x - a) - P_2(e - x) = \\ = C(e - x - a) - C(e - x) = -C \cdot a.$$

Следовательно, на указанном протяжении оси изгибающий момент не изменяется, и поэтому все сечения оси между амортизаторами одинаково опасны. Размеры сечения (стальная труба) проверяем по формуле:  $C \cdot a = \frac{1}{2} (\Delta^4 - d^4) / D$ . н.

**Задача 9.** Даны: кривая распределения аэродинамической нагрузки на конце крыла и соответствующие ей диаграммы срезывающих сил и изгибающих моментов (рис. 22), — в зависимости от расстояния рассматриваемого сечения от конца крыла (в хордах). Определить реакции опор  $B$  и  $V$  и изгибающие моменты для лонжерона прямогоугольного крыла, схематически изображенного на рис. 23.

Длина хорды  $x=125$  см. Нагрузка  $= 170$  кгр.

**Решение:** Согласно рис. 22, нагрузка крыла изменяется по размаху на протяжении 1,2 хорды от конца  $A$  крыла, что составляет  $125 \cdot 1,2 = 150$  см.

На этом расстоянии от конца  $A$  срезывающая сила, равная нагрузке, выражается:  $0,99 \cdot p \cdot x = 0,99 \cdot p \cdot 125 = 124 \cdot p$ , где  $p$  — нагрузка, приходящаяся на 1 сантиметр длины лонжерона.

Нагрузка, приходящаяся на остальную часть крыла, равна  $175 \cdot p$ . След.,  $= 170 = 124 \cdot p + 175 \cdot p$ ,

$$\text{откуда } p = \frac{170}{124 + 175} = 0,57 \text{ кгр. на 1 пог. см.}$$

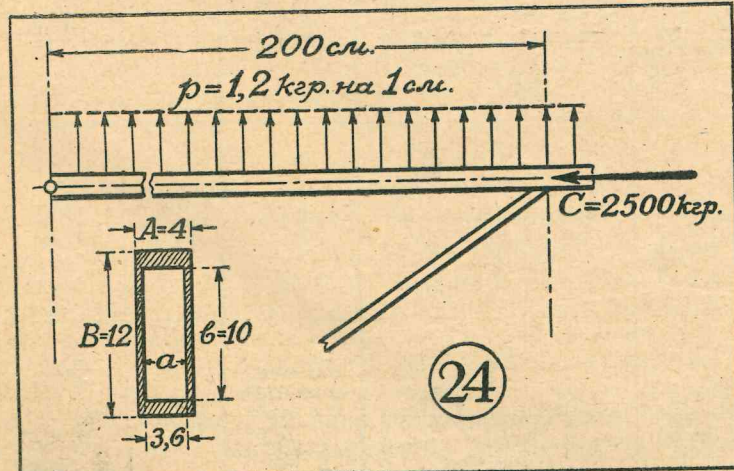


Рис. 24. К задаче 10.

Изгибающий момент над опорой  $B$ , расположенной в расстоянии  $100 \cdot 125 = 0,8$  хорды от конца крыла (см. рис. 22), равен  $0,215 \cdot 0,57 \cdot 125^2 = 1915$  кгр. см.

Чтобы найти реакции опор  $B$  и  $V$ , сперва определяем положение центра тяжести с площади диаграммы нагрузки, между точками  $A$  и  $B$ . Для этого берем моменты нагрузки относительно любого сечения лонжерона, например,  $b$ .

Момент нагрузки, приходящейся на часть крыла, расположенную влево от сечения  $b$ , равен  $0,525 \cdot 0,57 \cdot 125^2 = 4676$  кгр. см. (см. рис. 22).

Момент нагрузки, равномерно распределенной на часть крыла, расположенную вправо от сечения  $b$ , равен  $175 \cdot 0,57 \cdot \frac{175}{2} = 8728$  кгр. см.

Нагрузка, приходящаяся на лонжерон между точками  $A$  и  $B$ :  $0,99 \cdot 125 \cdot 0,57 + 175 \cdot 0,57 = 170,3$  кгр.

Расстояние центра тяжести этой нагрузки от вертикали  $ab$  равно  $\frac{4676 - 8728}{170,3} = -23,8$  см. (по направлению к продольной оси самолета).

$$\text{Реакция } B = 170,3 \cdot \frac{151,2}{225} = 114,4 \text{ кгр.}$$

$$\text{Реакция } V = 170,3 \cdot \frac{73,8}{225} = 55,9 \text{ кгр.}$$

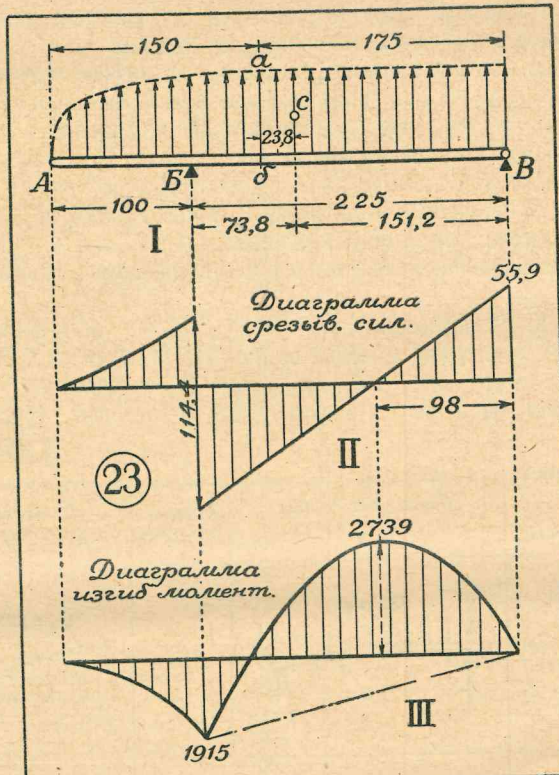


Рис. 23. Построение диаграмм срезывающих сил и изгибающих моментов для лонжерона крыла. Задача 9.

Часть лонжерона крыла, во внутреннем пролете, испытывает равномерно распределенную нагрузку  $p = 1,2$  кгр. на 1 см. длины и одновременно сжимается осевой силой  $P = 2500$  кгр. (рис. 24). Дано сечение лонжерона, которое необходимо проверить на прочность. Материал: сосна.

**Решение:** Согласно таблице V (случай III), максимальный изгибающий момент  $M = \frac{P \cdot e}{8} = \frac{p \cdot e^2}{8} = \frac{1,2 \cdot 200^2}{8} = 6000$  кгр. см.

Момент сопротивления данного сечения лонжерона:

$$W = \frac{A \cdot B^3 - a \cdot b^3}{6 \cdot B} = \frac{4,12^3 - 4 \cdot 10^3}{6 \cdot 12} = 40,5 \text{ куб. см.}$$

Так как толщина фанерных стенок лонжерона составляет лишь  $0,2/10 = 1/50$  высоты их, в момент сопротивления  $W$  их не вводим, т.е. считаем  $a = A = 4$  см.

Напряжение от изгиба:  $\sigma_1 = \frac{M}{W} = \frac{6000}{40,5} = 148$  кгр. на кв. см.

Напряжение от сжатия:

$\sigma_2 = C/p$ , где  $p$  — площадь поперечного сечения лонжерона, равная  $A \cdot B - a \cdot b = 4 \cdot 12 - 3,6 \cdot 10 = 12$  кв. см.  $\sigma_2 = 2500/12 = 208$  кгр./кв. см.

Наибольшее напряжение сжатия, испытываемое нижними наружными волокнами лонжерона, равно  $\sigma_1 + \sigma_2 = 148 + 208 = 356$  кгр./кв. см.

Таким образом, нижняя полка лонжерона работает за пределом упругости материала и поэтому ее сечение должно быть увеличено.

(Продолжение следует).